УЛК 544.452.2+662.61

# ХАРАКТЕРИСТИКИ ПАРОВОЗДУШНОЙ ГАЗИФИКАЦИИ УГЛЕРОДНОГО ТОПЛИВА В ФИЛЬТРАЦИОННОМ РЕЖИМЕ ПРИ ПОВЫШЕННОМ ДАВЛЕНИИ

© 2019 г. С. В. Глазов<sup>1, \*</sup>, Е. В. Полианчик<sup>1</sup>

<sup>1</sup>Институт проблем химической физики РАН, Черноголовка, Россия
\*E-mail: glazov@icp.ac.ru
Поступила в редакцию 29.06.2016 г.
После доработки 28.06.2018 г.
Принята к публикации 07.08.2018 г.

Представлены результаты расчетов стационарного режима фильтрационного горения смесей углерода с твердым негорючим материалом в противотоке газообразного окислителя (паровоздушная смесь) в предположении термодинамически равновесного состава газообразных продуктов и самосогласованной с ним температуре горения. Рассмотрено влияние давления в реакторе на температуру горения и состав газообразных продуктов. Показано, что повышение давления приводит к повышению температуры, уменьшению выхода водорода и снижению чувствительности режима горения к содержанию водяного пара в окислителе.

*Ключевые слова:* фильтрационное горение, моделирование, противоток, углеродное топливо, влияние давления

**DOI:** 10.1134/S0040357119020040

## ВВЕДЕНИЕ

Технологии на основе так называемого прямого процесса газификации, в которых используются встречные потоки твердого горючего и газообразного окислителя, являются наиболее выгодными с точки зрения преобразования энергетического потенциала топлива в теплотворную способность газа [1]. В частности, "сверхадиабатические" режимы фильтрационного горения ( $\Phi\Gamma$ ) рассматриваются в качестве основы для создания перспективных методов переработки горючих отходов и получения энергии из низкосортных топлив [2, 3]. Промышленные процессы газификации часто реализуют при повышенном давлении, способствующем увеличению скорости и полноты химических превращений и, следовательно, позволяющем значительно уменьшить габариты реакторов [4]. Влияние повышенного давления на характеристики фильтрационного горения углеродного топлива неоднозначно. С одной стороны, как было упомянуто, повышение давления позволяет увеличить скорость протекания химических реакций. уменьшить линейные скорости газовых потоков и увеличить удельную производительность реакторов. Но, с другой стороны, целевым продуктом газификации углеродного топлива, как правило, является газ с максимально возможным количеством водорода и монооксида углерода, и повышение давления (в соответствии с принципом ЛеШателье) будет снижать их выход. Кроме того, неизбежно возрастает стоимость аппаратного оформления процесса. Следовательно, целесообразность повышения давления в процессах газификации не так очевидна. Отсюда следует важность учета давления при оптимизации подобных процессов.

При сравнительно малых скоростях подачи газа-окислителя (т.е. медленном распространении фронта горения) и при высоких температурах химические реакции можно считать быстрыми, и лимитирующим процессом становится поступление реагентов в зону химических реакций. При этом реализуются режимы с полным расходованием реагентов, в которых кинетические параметры системы перестают входить в определяющие соотношения [5], что довольно часто реализуется в "сверхадиабатических" режимах ФГ [3, 6]. Известно, что в этом случае вместо кинетических данных можно использовать условие термодинамического равновесия в продуктах при температуре горения, что практикуется для оценок параметров газификации [4]. Модель фильтрационного горения углеродных систем в приближении термодинамически равновесного состава продуктов, самосогласованного с температурой горения, была представлена в наших предыдущих работах [7, 8]. В процитированных работах приведены результаты расчета режимов ФГ смесей углерода с твердым химически инертным материалом (инертом) при фильтрации кислородно-азотных смесей различной концентрации, рассмотрено влияние добавки эндотермических окислителей (диоксид углерода и водяной пар). В настоящей работе в общих рамках подхода, развитого в работах [7, 8], рассматривается влияние давления в реакторе на температуру и состав газообразных продуктов при фильтрационном горении углеродных топлив в "сверхадиабатических" режимах  $\Phi\Gamma$ .

#### ОПИСАНИЕ МОДЕЛИ

Предложенная в [7, 8] математическая модель позволяет рассчитать концентрации продуктов и температуру горения при газификации твердого топлива (смеси углерода с твердым инертным негорючим материалом) в режиме фильтрационного горения в противотоке кислородсодержащего газа для заданных состава твердого топлива (отношения углерод/инерт), давления и состава газообразного окислителя без использования данных о детальном кинетическом механизме реакций окисления. Модель базируется на следующих основных допущениях:

- реакция протекает в узкой зоне горения, ширина зон теплообмена много меньше размеров реактора;
- в зоне горения происходит полное расходование углерода и кислорода;
- состав продуктов горения отвечает химическому равновесию газов над поверхностью углерода при температуре горения;
- линейная скорость газового потока невелика, что позволяет пренебречь кинетической энергией газа по сравнению с тепловой и химической;
- теплопотери через стенки реактора отсутствуют.

Указанное приближение позволяет выявить качественные закономерности процесса и провести оценку влияния на режимы газификации от состава твердого топлива, состава газообразного окислителя и лавления.

Область применимости модели ограничивается стехиометрическими режимами [5, 7], в которых скорость химических реакций достаточно высока. а скорости подачи компонентов достаточно малы для того, чтобы химическое превращение реагентов успевало завершиться, и термодинамически равновесный состав продуктов успевал установиться в сравнительно узкой зоне реакции. Границы области применимости подробно рассмотрены в опубликованной ранее работе [7]. В дальнейшем рассмотрении состав газообразных продуктов ограничивается набором следующих компонентов: азот, монооксид и диоксид углерода, водород, метан и водяной пар. Будем считать, что остальные компоненты присутствуют в столь незначительных количествах, что не могут оказать существенного влияния на результаты. Как было показано ранее [8], в рассматриваемых условиях равновесная концентрация других возможных продуктов пренебрежимо мала. Как следует из рассмотрения в [7, 8], общее давление в реакторе является независимым управляющим параметром, однако расчеты влияния давления на режимы процесса выполнены не были. В настоящей работе мы рассматриваем это влияние.

В замкнутую систему уравнений [8] входит уравнение сохранения энергии, которое в сделанных предположениях имеет вид сохранения энтальпии во фронте горения для нормальной структуры зоны горения

$$x_{0}H_{x}(T_{b}) + n_{0}H_{n}(T_{b}) + w_{0}H_{w}(T_{b}) + + aH_{a}(T_{0}) + c_{0}H_{c}(T_{0}) = nH_{n}(T_{0}) + + mH_{m}(T_{0}) + dH_{d}(T_{0}) + eH_{e}(T_{0}) + + hH_{h}(T_{0}) + wH_{w}(T_{0}) + aH_{a}(T_{b}),$$

$$(1)$$

а для инверсной

$$x_0 H_x(T_0) + n_0 H_n(T_0) + w_0 H_w(T_0) + a H_a(T_b) + c_0 H_c(T_b) = n H_n(T_b) + H_m(T_b) + d H_d(T_b) + e H_e(T_b) + h H_b(T_b) + w H_w(T_b) + a H_d(T_0).$$
(1')

В систему уравнений также входят условия поэлементного сохранения в зоне реакции:

кислорода 
$$2x_0 + w_0 = w + m + 2d$$
, (2)

углерода 
$$c_0 = m + d + e$$
, (3)

водорода 
$$2w_0 = 2w + 4e + 2h$$
, (4)

азота 
$$n_0 = n,$$
 (5)

инерта 
$$a_0 = a$$
. (6)

ний компонентов. Условие термодинамического равновесия в продуктах горения, записанное через константы диссоциации и давление насыщенных паров углерода [8], дает три независимых замыкающих уравнения, которые можно привести к виду

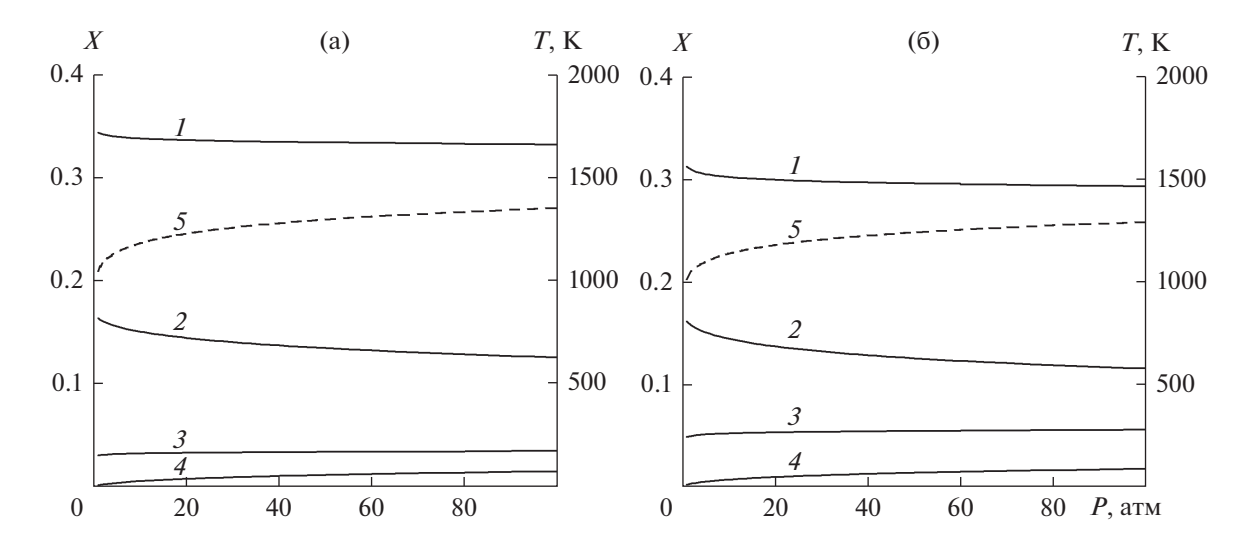
 $dh = mw\kappa_1(T_h),$ 

**(7)** 

Использованное в модели приближение иде-

ального газа предполагает, что заданное полное давление является суммой парциальных давле-

ТЕОРЕТИЧЕСКИЕ ОСНОВЫ ХИМИЧЕСКОЙ ТЕХНОЛОГИИ том 53 № 2 2019



**Рис. 1.** Зависимость объемных долей газообразных продуктов (сплошные линии, I - CO,  $2 - \text{H}_2$ ,  $3 - \text{CO}_2$ ,  $4 - \text{CH}_4$ ) и температуры горения (пунктирная линия 5) от давления при отношении пар/кислород R = 1.5 и содержании углерода 40 (а) и 12 мас. % (б).

$$wh = em\kappa_2(T_h), \tag{8}$$

$$e(d + m + h + w + e + n) = h^2 P \kappa_3(T_h),$$
 (9)

где  $\kappa_1(T)$ ,  $\kappa_2(T)$  и  $\kappa_3(T)$  — функции только температуры, выражающиеся через константы диссоциации как

$$\kappa_{l}(T) = \frac{K_{m}(T)K_{w}(T)}{K_{d}(T)K_{h}(T)},\tag{10}$$

$$\kappa_2(T) = \frac{K_m(T)K_e(T)}{K_w(T)K_h(T)P_{\rm C}^2(T)},\tag{11}$$

$$\kappa_3(T) = \frac{\left[K_h(T)\right]^2 P_{\rm C}(T)}{K_e(T)}.$$
(12)

Получение аналитического решения системы уравнений (1)—(9) для температуры и состава продуктов при заданном составе реагентов затруднительно, но расчет для каждого конкретного значения управляющих параметров можно провести с помощью стандартных численных методов. Проведенное в [8] сопоставление результатов расчетов равновесного состава газообразных продуктов по вышеописанной модели с результатами расчетов по стандартной программе термодинамических равновесий показало, что приближение (7)—(9) позволяет с достаточной точностью рассчитать равновесный состав газообразных продуктов.

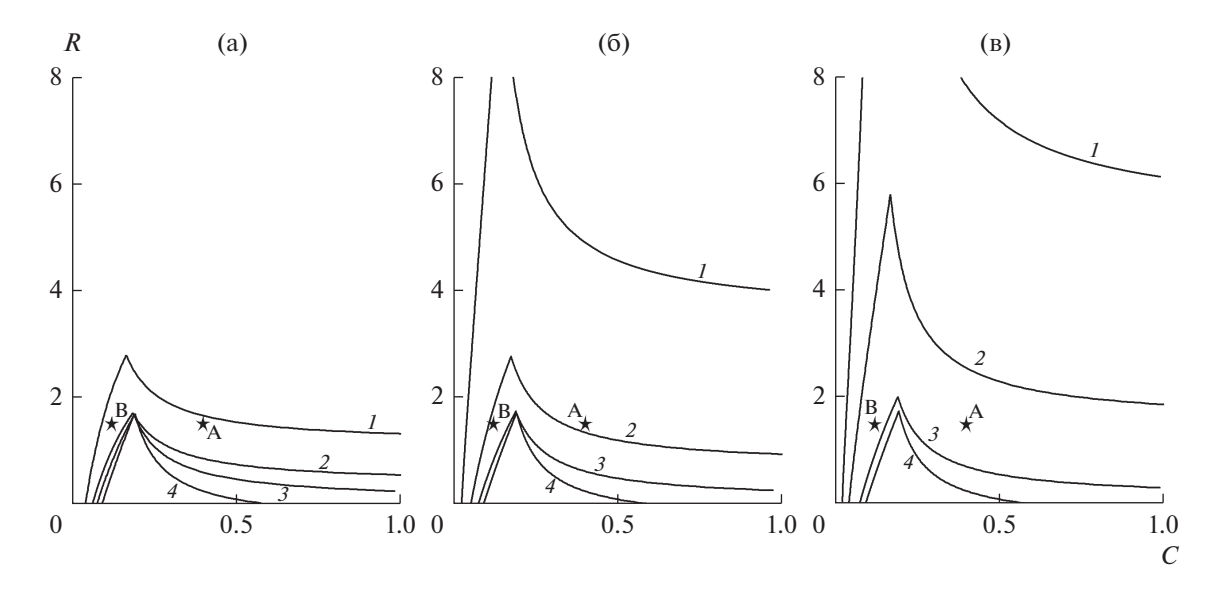
Представленные ниже расчеты проведены для случаев, когда твердое топливо представляет собой смесь углерода с инертом. В расчетах использовали значения термодинамических функций (энтальпии, константы диссоциации), опубликованные в [9]. Термодинамические свойства углерода полагали соответствующими свойствам графита, а для инерта использованы характеристики

 $Al_2O_3$ . В качестве газообразного окислителя рассматривается смесь воздуха (21 об. %  $O_2$ , 79 об. %  $N_2$ ) с водяным паром. Доля углерода в топливе и доля пара в газообразном окислителе, а также давление — управляющие параметры, значения которых варьировали в ходе расчетов.

### РЕЗУЛЬТАТЫ РАСЧЕТОВ

На рис. 1а представлены зависимости температуры горения и объемных долей газообразных продуктов от давления при мольном отношении пар/кислород в газообразном окислителе R = $= [H_2O]/[O_2] = 1.5$  и при содержании углерода в топливе 40 мас. % (при этом реализуется инверсная структура фронта горения). Аналогичные зависимости для состава с нормальной тепловой структурой фронта (содержание углерода 12 мас. %) представлены на рис. 1б. При определенном составе реагентов (т.е. при заданных содержании углерода в топливе и отношении пар/кислород в газообразном окислителе) повышение давления в реакторе приводит к увеличению температуры горения, а также к снижению концентрации водорода и монооксида углерода в газообразных продуктах.

Общую картину влияния давления на температуру наглядно показывает изменение положения изолиний на диаграмме исходных составов (рис. 2), где по оси абсцисс — состав твердого топлива (массовая доля углерода в смеси), а по оси ординат — состав газа-окислителя (мольное отношение пар/кислород  $R = [\mathrm{H_2O}]/[\mathrm{O_2}]$  при фиксированном объемном отношении кислород/азот = 21/79). Характеристики, рассчитанные для конкретного исходного состава реагентов, соответствуют определенной точке на этой диаграмме. Характе-



**Рис. 2.** Расчетные изолинии температуры горения (1-1000 K; 2-1200; 3-1500; 4-2000 K) на диаграмме составов для различных значений давления: (a) -1, (б) -20, (в) -100 атм.

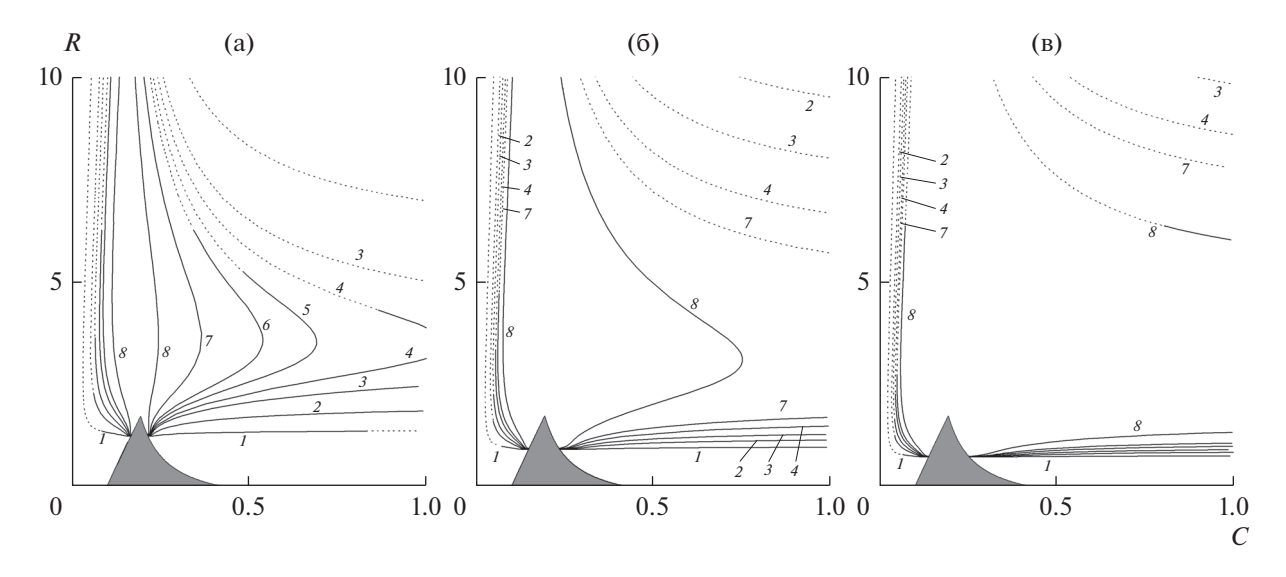
ристики, представленные на рис. 1а и 16, соответствуют точкам A и B на рис. 2.

На диаграмме видно, что при повышении давления происходит увеличение температуры горения, причем существенно более сильное для параметрической области, где температуры горения невысоки. Изолинии высокой температуры почти не реагируют на повышение давления: сдвиг изолиний  $T_b = 2000~{\rm K}$  (кривые 4) при повышении давления от 1 до 100 атм незаметен в масштабе рис. 2, в то время как изолинии для  $T_b = 1000~{\rm K}$  (кривые I) сдвигаются значительно. Такой сдвиг изолиний вверх в практическом смысле означает, что увеличение количества пара в газе-окислителе будет существенно слабее влиять на температуру горения.

Что касается состава продукт-газа, в первую очередь рассмотрим изменение содержаний монооксида углерода и водорода, поскольку это два основных компонента целевого продукта (синтез-газа). Результаты расчетов показывают, что при повышении общего давления содержание водорода в продукт-газе довольно резко уменьшается, причем особенно резко в области невысоких (меньше 1200 К) температур. На рис. 3 представлены изолинии 15 (а), 12 (б) и 10% (в) объемного содержания водорода в продукт-газе для различных давлений. Состав продукт-газа рассматриваем за вычетом содержащейся в нем воды (сухой газ). Затемненный треугольник в нижней части диаграммы составов соответствует режимам со слишком высокой температурой горения (выше 2300 К), которые не могут быть реализованы даже с использованием в качестве инерта такого огнеупорного материала, как окись алюминия. Пунктиром соответствующие изолинии показаны в области составов, для которых расчетная температура ниже 1000 К (ср. с рис. 2). В этой параметрической области достижение термодинамического равновесия в продуктах труднодостижимо в реальных практических применениях. Конкретное значение граничной температуры выбрано нами произвольно.

На рис. За видно, что при атмосферном давлении область высокого (15 об. % и более) содержания водорода охватывает весьма широкое поле составов (область содержания углерода, ограниченная слева и справа двумя ветвями линии 1), а при 100 атм эта область значительно сужается (область, ограниченная линиями 6). Это свидетельствует о том, что такой концентрации водорода можно достичь лишь в узком диапазоне содержания углерода. Похожая картина наблюдается и для изолиний, соответствующих другим значениям содержания водорода. На рис. 3б представлены изолинии 12% содержания водорода. В этом случае область тоже сужается, но не столь значительно и 12% содержание водорода можно получить при более широком варьировании содержания углерода в топливе. Еще шире параметрическая область, в которой достижимо 10% содержание водорода (рис. 3в).

Содержание монооксида углерода в продуктах изменяется не столь значительно и не однозначно. На рис. 4 приведены расчетные изолинии 15, 25 и 35 об. % содержания СО для давлений 1, 10 и 100 атм. Как и на предыдущем рисунке, затемненный треугольник в нижней части соответствует режимам со слишком высокой температурой (выше 2300 K), а в областях низкой температуры (ни-



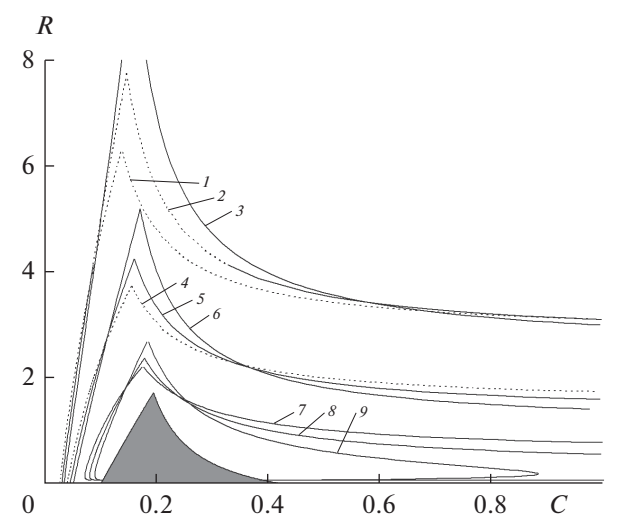
**Рис. 3.** Расчетные изолинии 15 (a), 12 (б) и 10 об. % (в) содержания водорода в продуктах для различных значений давления: I-1, I

же 1000 K) расчетные изолинии показаны пунктиром. Линии, соответствующие определенному содержанию CO, группируются в пучок. В центральных областях поля составов (области, близкие к "линии инверсии", где температура горения максимальна) увеличение давления приводит к увеличению концентрации CO в продуктах, а в краевых областях (далеко от линии инверсии) — наоборот.

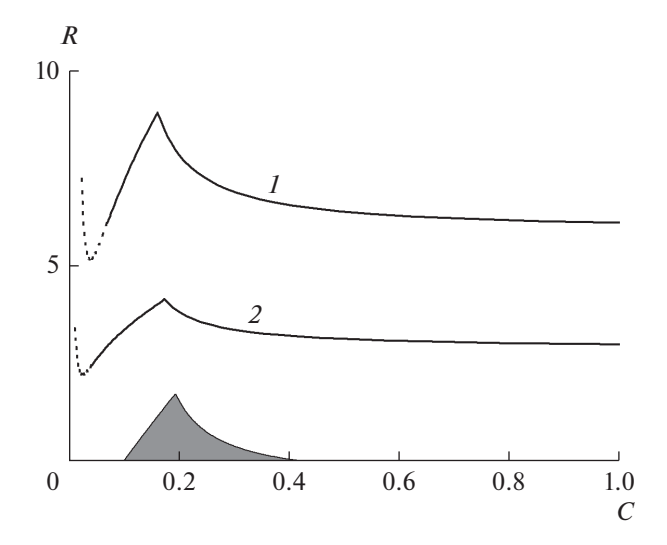
Как отмечалось в работе [8], при низком давлении (1 атм) водород и монооксид углерода являются основными горючими компонентами продукт-газа, определяющими его теплотворную способность. Однако при увеличении давления

содержание метана становится достаточно высоким, чтобы стал значимым его вклад в теплоту сгорания продукт-газа. На рис. 5 представлены изолинии 10 и 5 об. % содержания метана в продуктах для давления 100 атм. При 5% содержании метана его вклад в общую теплоту сгорания газа составляет уже не менее 25—30%. Для давлений 1 и 10 атм равновесное содержание метана в продуктах выше 5 об. % достигается лишь в области температур горения ниже 1000 К.

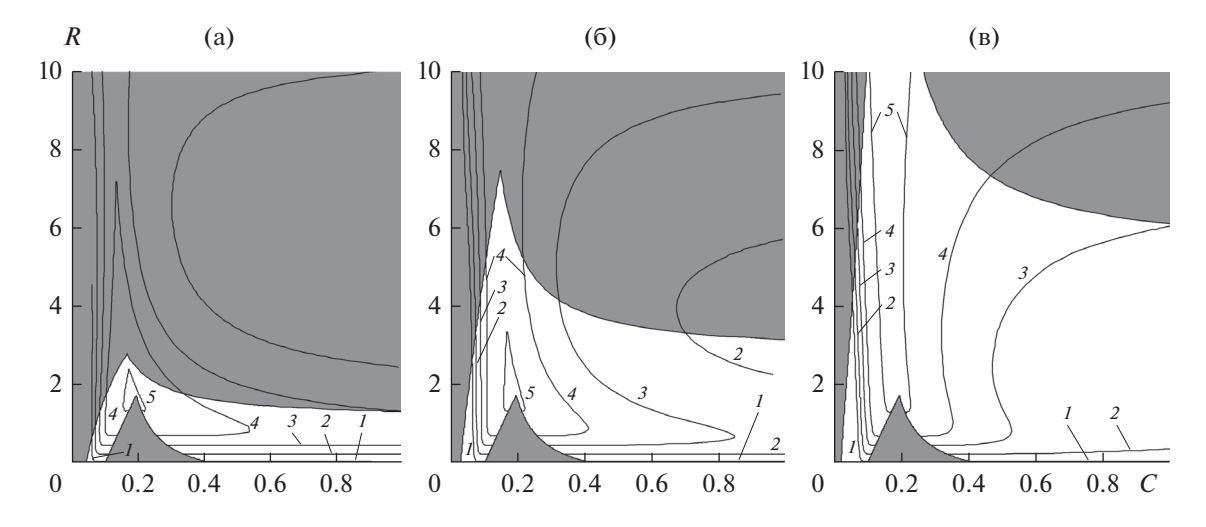
Если дальнейшее использование газообразных продуктов подразумевает сжигание с получением тепловой энергии, то увеличение содержания метана можно считать положительным фактором, а



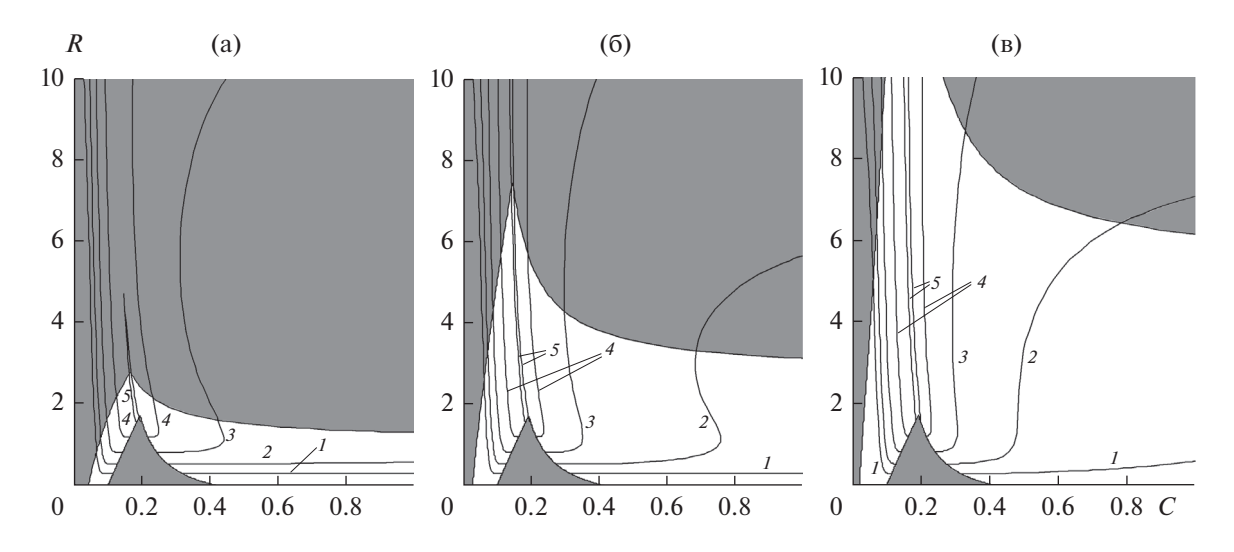
**Рис. 4.** Расчетные изолинии 15 (1, 2 и 3), 25 (4, 5 и 6) и 35 об. % (7, 8 и 9) содержания СО в продуктах для различных значений давления: 1, 4 и 7 — 1; 2, 5 и 8 — 10; 3, 6 и 9 — 100 атм.



**Рис. 5.** Расчетные изолинии 10(I) и 5 об. % (2) содержания метана в продуктах при давлении 100 атм.



**Рис. 6.** Расчетные изолинии теплоты сгорания продукт-газа для давления 1 (а), 10 (б) и 100 (в) атм: 1-100, 2-110, 3-120, 4-130, 5-150 кДж/моль.



**Рис. 7.** Расчетные изолинии КПД газификации для давления 1 (a), 10 (б) и 100 (в) атм: 1-80, 2-85, 3-90, 4-95, 5-99%.

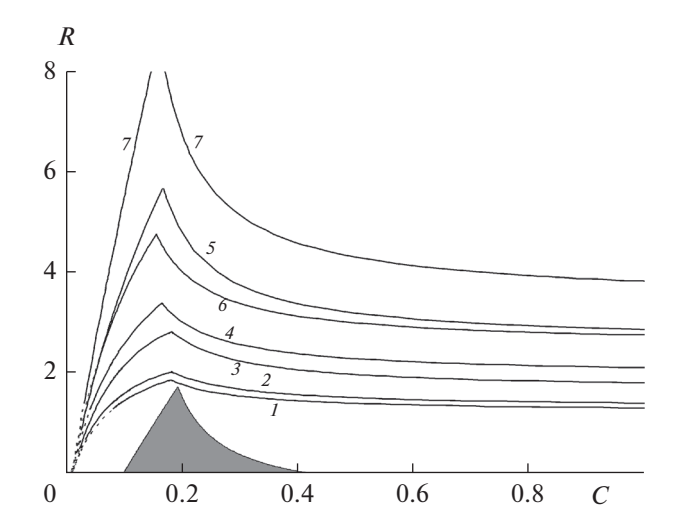
в случае использования продуктов для химического синтеза (синтез-газ) увеличение содержания метана является нежелательным.

Расчетные значения теплоты сгорания продукт-газа представлены на рис. 6. Сходный характер имеют изолинии химического КПД газификации, определяемого как отношение энтальпии окисления газообразных продуктов к энтальпии окисления исходного углерода (рис. 7). На рис. 6 и 7, кроме высокотемпературной области (затемненный треугольник в нижней части рисунков, соответствующий температуре выше 2300 К), затемнены области низких температур (ниже 1000 К). Как видно из сравнения диаграмм, с повышением давления эти низкотемпературные области

сдвигаются в сторону большего количества пара в газообразном окислителе.

Максимальная теплота сгорания газа (и высокий КПД газификации) достигаются в области небольших содержаний углерода (15—30 мас. %) и при умеренной концентрации пара в подаваемой паровоздушной смеси. При повышении давления эта область немного сужается по доле углерода, но расширяется в сторону высокого содержания пара за счет увеличения количества метана в продуктах.

В том случае, когда газообразные продукты планируется использовать в качестве химического сырья для синтеза, например, углеводородов по методу Фишера—Тропша, важна такая характеристика, как отношение  $[H_2]/[CO]$  в продуктах.



**Рис. 8.** Расчетные изолинии отношения [H<sub>2</sub>]/[CO] при различном давлении:  $I - [\text{H}_2]/[\text{CO}] = 0.5, P = 1; 2 - [\text{H}_2]/[\text{CO}] = 0.5, P = 10 \text{ атм; } 3 - [\text{H}_2]/[\text{CO}] = 0.5, P = 100 \text{ атм; } 4 - [\text{H}_2]/[\text{CO}] = 0.75, P = 10 \text{ атм; } 5 - [\text{H}_2]/[\text{CO}] = 0.75, P = 100 \text{ атм; } 6 - [\text{H}_2]/[\text{CO}] = 1.0, P = 100 \text{ атм; } 7 - [\text{H}_2]/[\text{CO}] = 1.0, P = 100 \text{ атм.}$ 

Расчетные значения этой характеристики пролукт-газа представлены на рис. 8. Вилно, что чем выше давление, тем больше пара требуется для достижения того же значения этого отношения в продуктах. Практически важные значения отношения ( $[H_2]/[CO] = 1$  и  $[H_2]/[CO] = 2$ ) при атмосферном давлении оказываются недостижимыми во всей параметрической области режимов с температурой горения от 1000 до 2300 К. Достижимые значения отношения [H<sub>2</sub>]/[CO] растут с ростом давления. При давлении 10 атм значение этого отношения может достигать единицы, но для получения газа с характерным отношением  $[H_2]/[CO] = 2$ даже повышения давления до 100 атм будет недостаточно. При этом увеличение содержания метана в составе продукт-газа делает его малопригодным сырьем для синтеза углеводородов.

## ЗАКЛЮЧЕНИЕ

Представленные результаты показывают, что повышение давления при газификации углеродных систем в режиме фильтрационного горения существенно сказывается на температуре и составе продуктов. Повышение давления приводит к возрастанию температуры горения и значительному снижению содержания водорода в продуктах газификации. При использовании продуктов газификации в энергетических целях снижение содержания водорода при повышении давления в некоторой степени компенсируется увеличением содержания метана. Показано, что в отличие от газификации, проводимой при низком (атмосферном)

давлении, когда содержание пара в газообразном окислителе является хорошим управляющим параметром для контроля температуры, при повышенном давлении этот параметр управления теряет свою эффективность.

Следует помнить, что представленная расчетная модель подразумевает высокую скорость химических реакций и быстрое установление термодинамического равновесия в продуктах сгорания, что является довольно строгим ограничением области ее применимости. Тем не менее представленные результаты могут быть полезными для предварительной оценки режимов газификации углеродных систем и направления оптимизации режимов ФГ для конкретных практических задач.

Работа выполнена по теме Государственного задания № 01201361842 и при частичной поддержке Программы фундаментальных исследований Президиума РАН № 18 "Фундаментальные аспекты химии углеродной энергетики" и Программы фундаментальных исследований Президиума РАН № 31п "Фундаментальные исследования процессов горения и взрыва".

#### ОБОЗНАЧЕНИЯ

1 1	
a, c, d, e, h,	удельные мольные расходы инертного
n, m, w, x	материала, углерода, диоксида углерода,
	метана, водорода, азота, монооксида
	углерода, водяного пара и кислорода
	соответственно, моль/(с $M^2$ )
C	массовая доля углерода в смеси углерода
	с твердым негорючим материалом
$H_i = H_i(T)$	энтальпия $i$ -го компонента, кДж/моль
$K_i = K_i(T)$	константы диссоциации і-го компо-
• • • •	нента, Па, Па <sup>2</sup> , Па <sup>4</sup>
P	абсолютное значение давления, Па
$P_{\rm C} = P_{\rm C}(T)$	равновесное давление паров над поверх-
	ностью углерода, Па;
$p_i$	парциальное давление і-го газового ком-
	понента, Па
Q	суммарный тепловой эффект химиче-
	ских реакций, кДж/(с $M^2$ )
R	мольное отношение пар/кислород в
	газообразном окислителе
$T_0$	температура окружающей среды, К
$T_b$	температура горения, К
X	объемная доля компонента в смеси газов
$\kappa_1(T),  \kappa_2(T),$	безразмерные функции равновесия
$\kappa_3(T)$	

# ИНДЕКСЫ

- 0 значение на входе в реактор
- i номер компонента; i = a, c, d, e, h, n, m, w, x

#### СПИСОК ЛИТЕРАТУРЫ

- 1. Канторович Б.В. Основы теории горения и газификации твердого топлива. М.: АН СССР, 1958.
- 2. Manelis G.B., Glazov S.V., Lempert D.B., Salgansky E.A. Filtration combustion of solid fuel in countercurrent reactors // Russ. Chem. Bull. 2011. V. 60. № 7. P. 1301. [Манелис Г.Б., Глазов С.В., Лемперт Д.Б., Салганский Е.А. Фильтрационное горение твердого топлива в противоточных реакторах // Изв. АН. Сер. хим. 2011. № 7. С. 21.]
- 3. Zaichenko A.Y., Zhirnov A.A., Manelis G.B., Polianchik E.V., Zholudev A.F. Filtration combustion of carbon in a non-one-dimensional solid flow // Theor. Found. Chem. Eng. V. 44. № 1. Р. 30. [Зайченко А.Ю., Жирнов А.А., Манелис Г.Б., Полианчик Е.В., Жолудев А.Ф. Фильтрационное горение углерода при неодномерном течении твердой фазы // Теорет. основы хим. технологии. 2010. Т. 44. № 1. С. 31.]
- 4. *Higman C.*, van der Burgt M. Gasification. Amsterdam: Elsevier, 2003.
- Schult D.A., Matkowsky B.J., Volpert V.A., Fernandez-Pello A.C. Forced forward smolder combustion // Combust. Flame. 1996. V. 104. P. 1.

- Salgansky E.A., Kislov V.M., Glazov S.V., Zholudev A.F., Manelis G.B. Filtration combustion of a carbon-inert material system in the regime with superadiabatic heating // Combust., Explos., Shock Waves. 2008. V. 44. № 3.
   P. 273. [Салганский Е.А., Кислов В.М., Глазов С.В., Жолудев А.Ф., Манелис Г.Б. Фильтрационное горение смеси углерод—инертный материал в режиме со сверхадиабатическим разогревом // Физика горения и взрыва. 2008. Т. 44. № 3. С. 30.]
- 7. *Polianczyk E.V., Glazov S.V.* Model for filtration combustion of carbon: Approximation of a thermodynamically equilibrium composition of combustion products // Combust., Explos., Shock Waves. 2014. V. 50. № 3. Р. 251. [Полианчик Е.В., Глазов С.В. Модель горения углерода в фильтрационном режиме в приближении термодинамически равновесного состава продуктов // Физика горения и взрыва. 2014. Т. 50. № 3. С. 9.]
- 8. Glazov S.V., Polianczyk E.V. Filtration combustion of carbon in the presence of endothermic oxidizers // Combust., Explos., Shock Waves. 2015. V. 51. № 5. P. 540. [Глазов С.В., Полианчик Е.В. Фильтрационное горение углерода в присутствии эндотермических окислителей // Физика горения и взрыва. 2015. Т. 51. № 5. С. 34.]
- 9. Термодинамические свойства индивидуальных веществ. Справочное издание в четырех томах / Под ред. Глушко В.П., Гуревич Л.В. 3-е изд. М.: Наука, 1981.